

УДК 541.64, 544.65, 546.11

## Электрокатализ N-содержащими сопряженными полимерами электрохимического выделения водорода из воды в кислых средах

Я. И. Курсы, Д. О. Мазур, В. Г. Кошечко, В. Д. Походенко

Институт физической химии им. Л. В. Писаржевского НАН Украины  
просп. Науки, 31, Киев 03028, Украина. E-mail: kurys@inphyschem-nas.kiev.ua

Выяснена возможность ряда N-содержащих органических сопряженных полимеров проявлять электрокаталитическую активность в процессе выделения водорода в кислом электролите. Установлено, что модифицирование стеклографитового электрода поли-5-аминоиндолом, поли-8-аминохинолином или поли-*o*-фенилендиамином, в отличие от полianiлина, полипиррола, поли-*m*-фенилендиамина, поли-*o*-аминофенола, полинидола и поли-2-аминотиридина, приводит к повышению эффективности электролитического выделения водорода — уменьшению величины тафелевского наклона, снижению потенциала начала процесса и перенапряжения при заданной плотности тока.

**Ключевые слова:** электрокатализаторы, выделение водорода, N-содержащие сопряженные полимеры.

Электрохимическое выделение водорода из воды является одним из наиболее перспективных методов, позволяющих получать  $H_2$  высокой чистоты с использованием дешевого сырья, запасы которого практически не ограничены [1, 2]. В то же время реакция выделения водорода (РВВ) на традиционных электродах (например, угольных) проходит с высоким перенапряжением, что приводит к значительным энергозатратам. Уменьшить перенапряжение и, как следствие, энергозатраты позволяет использование в указанном процессе электрокатализаторов. Материалы на основе платины и металлов платиновой группы являются наиболее активными электрокатализаторами для РВВ, однако высокая стоимость и ограниченные мировые запасы платины сдерживают их широкое применение и обуславливают поиск и разработку альтернативных электрокатализаторов, которые не содержат драгоценных металлов [1, 2].

Как известно [3—5], органические сопряженные полимеры (ОСП) — полianiлин (ПАН), полипиррол (ППи), политиофен, их замещенные аналоги и др. — могут выступать электрокатализаторами различных процессов, в то же время данные об использовании ОСП в РВВ в литературе крайне ограничены и противоречивы. В работах [6—8] установлено, что ППи и ПАН не только не катализируют, но и ингибируют процесс электролитического выделения водорода из водных электролитов, тогда как для поли(2-амино-5-меркапто-1,3,4-тиадиазола) недавно была показана

значительная активность в РВВ [9], которую связывают с высоким содержанием атомов азота и серы в полимере и попарным близким расположением в макромолекуле активных азотсодержащих центров  $=N=$ , способствующих рекомбинации образующегося атомарного водорода. Можно полагать, что и другие ОСП с высоким содержанием азота (в частности, аминозамещенные структурные аналоги ПАН и ППи) могут проявлять электрокаталитическую активность в РВВ, что важно для их потенциального применения в качестве компонент гибридных наноэлектрокатализаторов указанного процесса. За счетnanoструктурирования и электронного взаимодействия между компонентами, в таких нанокомпозиционных электрокатализаторах возможно не только объединение полезных функциональных характеристик, присущих его составляющим, но и возникновение новых свойств, которые недостижимы для отдельных индивидуальных компонентов. Примером эффективности такого подхода является недавно опубликованная работа [10], где электрохимически сформированный нанокомпозиционный электрокатализатор РВВ на основе ППи и  $MoS_x$  по своим функциональным характеристикам значительно превышает индивидуальные компоненты и приближается к платине.

Учитывая изложенное выше, целью настоящей работы являлось выяснение возможности ряда N-содержащих ОСП — поли-*o*-фенилендиамина

Таблица 1

## Параметры модификации GC-электрода N-содержащими ОСП

ОСП	Электролит	$E_{\min} \div E_{\max}$ , мВ	Скорость сканирования потенциала, мВ/с	Количество циклов
ПАН	0,1 М анилин/0,5 М $H_2SO_4$	-200÷850 (Ag/AgCl)	50	20
ППи	0,1 М пиrrол/0,5 М $H_2SO_4$	-200÷850 (Ag/AgCl)	50	20
ПоФДА	10 мМ <i>o</i> -фенилендиамин/0,2 М ФБР (pН 6,8)	-400÷1000 (Ag/AgCl)	50	30
ПмФДА	10 мМ <i>m</i> -фенилендиамин/0,2 М ФБР (pН 6,8)	-400÷1000 (Ag/AgCl)	50	30
ПАФ	10 мМ <i>o</i> -аминофенол/0,1 М $LiClO_4$ + 0,1 М $HClO_4$	-200÷850 (Ag/AgCl)	20	15
ПИн	10 мМ индол/0,1 М ТБАП/ $CH_3CN$	-500÷2500 (Ag/ $Ag^+$ )	100	15
ПАИн	10 мМ 5-аминоиндол/0,5 М $H_2SO_4$	-400÷900 (Ag/AgCl)	50	15
ПАХ	10 мМ 8-аминохинолин/0,1 М ТБАП/ $CH_3CN$	-500÷1500 (Ag/ $Ag^+$ )	50	30
ПАП	10 мМ 2-аминопиридин/0,1 М ТБАП/ $CH_3CN$	-500÷2500 (Ag/ $Ag^+$ )	100	15

Примечание. ФБР — фосфатный буферный раствор; ТБАП — тетрабутиламмоний перхлорат.

(ПоФДА), поли-*m*-фенилендиамина (ПмФДА), поли-*o*-аминофенола (ПАФ), полииндола (ПИн), поли-5-аминоиндола (ПАИн), поли-8-аминохинолина (ПАХ), поли-2-аминопиридина (ПАП), а также для сравнения ПАН и ППи — проявлять электроактивность в РВВ в водных кислых электролитах и установление кинетических параметров РВВ на стеклографитовых (GC) электродах, модифицированных пленками таких ОСП.

### Экспериментальная часть

В работе использовали коммерчески доступные анилин и пиrrол (которые перед применением перегоняли под вакуумом), *o*- и *m*-фенилендиамины, *o*-аминофенол, индол, 5-аминоиндол, 8-аминохинолин, 2-аминопиридин,  $(C_4H_9)_4NClO_4$ ,  $LiClO_4$  и ацетонитрил — все без дополнительной очистки, а также 0,2 М фосфатный буферный раствор (ФБР) с pH 6,8 и водные растворы  $HClO_4$  и  $H_2SO_4$ .

Перед нанесением полимерных покрытий GC-электроды полировали суспензиями алмазных частиц (1,0 мкм) и наночастиц  $Al_2O_3$  (0,05 мкм) с последующей ультразвуковой очисткой последовательно в смеси вода — этанол (1 : 1 об.) и дистиллированной воде. Модификация GC-электрода соответствующим полимерным покрытием проводили с использованием потенциодинамического подхода по аналогии с известными методиками — ПАН [8], ППи [8], ПоФДА [11], ПмФДА [11], ПАФ [12], ПИн [13], ПАИн [14], ПАХ [15], ПАП [16].

Условия электрохимической полимеризации и использованные электролиты приведены в табл. 1.

Электрохимические исследования полученных пленок ОСП проводили при комнатной температуре методом вольтамперометрии с линейной разверткой потенциала (скорость сканирования потенциала 5 мВ/с) в 0,5 М водном растворе  $H_2SO_4$  с использованием неразделенной ячейки (рабочий электрод — дисковый стеклоуглеродный с геометрической площадью поверхности 0,03 см<sup>2</sup>; вспомогательный — платиновая проволока; электрод сравнения Ag/AgCl (3,0 М KCl),  $E = 0,202$  В отн. стандартного водородного электрода) и компьютеризированного электрохимического комплекса на базе потенциостата ПИ-50-1.1. При электрохимическом формировании ПИн, ПАХ и ПАП из ацетонитрильных электролитов использовали электрод сравнения Ag/ $Ag^+$  (0,01 М  $AgNO_3$  + 0,1 М  $n$ -Bu<sub>4</sub>NClO<sub>4</sub>/ $CH_3CN$ ;  $E = 0,36$  В отн. стандартного водородного электрода). Для деаэрирования электролитов использовали аргон высокой чистоты.

### Результаты и обсуждение

Циклические вольтамперограммы (ЦВА), соответствующие процессу электрохимической полимеризации некоторых из использованных мономеров на поверхности GC-электрода, приведены на рис. 1. В случае электрохимической полимеризации анилина (рис. 1, *a*), а также пиrrола с увеличением числа циклов сканирования потенциала в ЦВА имеет место постепенное снижение анодных токов, обусловлен-

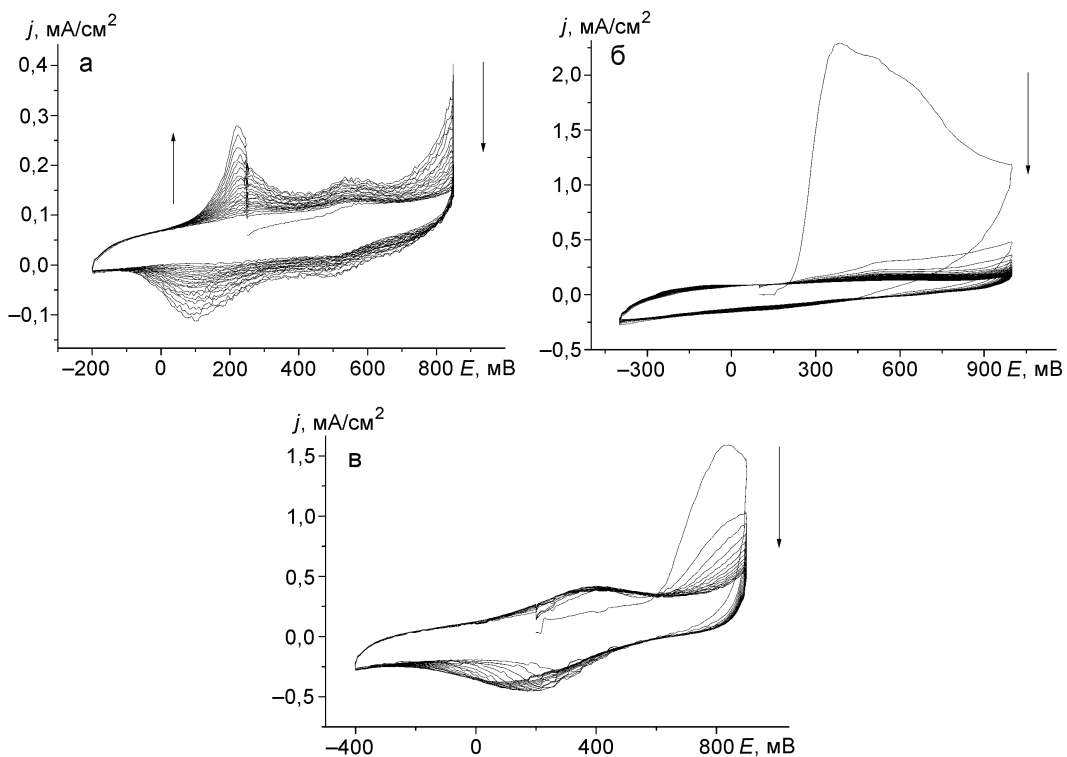


Рис. 1. ЦВА процессов электрохимического формирования пленок ПAn (а), ПоФДА (б) и ПАIn (в) на GC-электроде.

ных окислением мономеров в соответствующие катион-радикалы с одновременным ростом анодных и катодных пиков (в случае ППи существенно уширенных), связанных с редокс-переходами в ПAn и ППи, что является типичным при формировании полимеров, обладающих высокой электропроводностью [17].

В отличие от этого при электрохимическом получении ПоФДА (рис. 1, б), ПАIn (рис. 1, в), а также ПмФДА, ПАФ, ПИн, ПАХ и ПАП на первом цикле сканирования потенциала на анодной ветви ЦВА наблюдаются один или два широких пика, характерных для процесса окисления соответствующего мономера, с резким уменьшением тока окисления на следующих циклах вследствие формирования полимерной пленки с низкой электропроводностью, блокирующей доступ молекул мономера к поверхности электрода.

С целью выяснения возможности N-содержащих ОСП проявлять электрокатализическую активность в РВВ нами методом вольтамперометрии с линейной разверткой потенциала проведены исследования немодифицированного GC-электрода и модифицированного соответствующими полимерами в 0,5 М водном растворе  $H_2SO_4$ . Как следует из данных, приведенных на рис. 2, а, модификация GC-электрода большинством исследованных нами ОСП приводит к ингибированию выделения водорода из

кислого электролита, причем в случае ПAn и ППи смещение в катодную область потенциала выделения водорода и уменьшение тока по сравнению с немодифицированным электродом является наиболее значительным. Данный факт согласуется с приведенными в литературе данными о неактивности ПAn и ППи в РВВ [10] и возможности их использования в качестве ингибиторов коррозии металлов [9]. В отличие от этого, как обнаружено нами, модификация GC-электрода пленками ПАIn, ПАХ или ПоФДА приводит к увеличению его активности в РВВ по сравнению с немодифицированным электродом (рис. 2, б). В частности, ПАIn, который оказался лучшим электрокатализатором среди использованных ОСП, характеризуется снижением потенциала начала РВВ более чем на 200 мВ по сравнению с GC и намного большими токами (рис. 2, б, кривая 4).

Для более детального исследования электрохимической активности различных N-содержащих ОСП в РВВ и выяснения возможного механизма данного процесса на модифицированных электродах нами, на основе данных вольтамперометрии с линейной разверткой потенциала, построены поляризационные кривые в тафелевских координатах (рис. 3), на которых были выбраны прямолинейные участки и рассчитаны основные кинетические параметры РВВ (тафелевский наклон, токи обмена, коэффициент

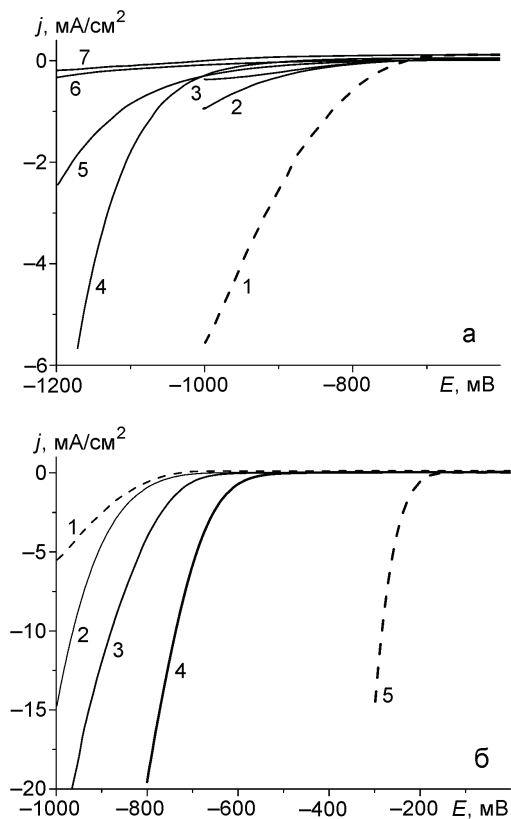


Рис. 2. Поляризационные кривые выделения водорода ( $0,5 \text{ M H}_2\text{SO}_4$ ;  $v = 5 \text{ мВ/с}$ ) на различных электродах: *a* — GC (1), PAP/GC (2), PIN/GC (3), PMFDA/GC (4), PAF/GC (5), PPI/GC (6) и PAh/GC (7); *б* — GC (1), PoFDA/GC (2), PAh/GC (3), PAIn/GC (4) и Pt (5).

переноса, перенапряжение при единичной плотности тока) (табл. 2) в соответствии с уравнением Тафеля:

$$\eta = a + b \lg j = -\frac{2,3RT}{\alpha nF} \lg j_0 + \frac{2,3RT}{\alpha nF} \lg j,$$

где  $\eta$  — приложенное перенапряжение, мВ;  $j$  — плотность тока,  $\text{mA}/\text{см}^2$ ;  $j_0$  — плотность тока обмена,  $\text{mA}/\text{см}^2$ ;  $b$  — тафелевский наклон, мВ/порядок;  $\alpha$  — коэффициент переноса;  $n$  — число электронов, участвующих в стадии разряда;  $R$  — газовая постоянная ( $8,314 \text{ кДж}\cdot\text{кмоль}^{-1}\cdot\text{К}^{-1}$ );  $F$  — постоянная Фарадея ( $96485 \text{ Кл}\cdot\text{моль}^{-1}$ ).

Рассчитанная плотность тока обмена ( $j_0$ ) для электродов, модифицированных указанными выше ОСП, находится в диапазоне  $10^{-4}\div10^{-7} \text{ мА}/\text{см}^2$  (табл. 2) и в зависимости от природы модифицирующего полимера она как превышает, так и является меньшей по сравнению с таковой для немодифицированного электрода ( $2,40\cdot10^{-4} \text{ мА}/\text{см}^2$ ). Для сравнения эффективности ОСП в РВВ нами рассчитано значение перенапряжения при заданной

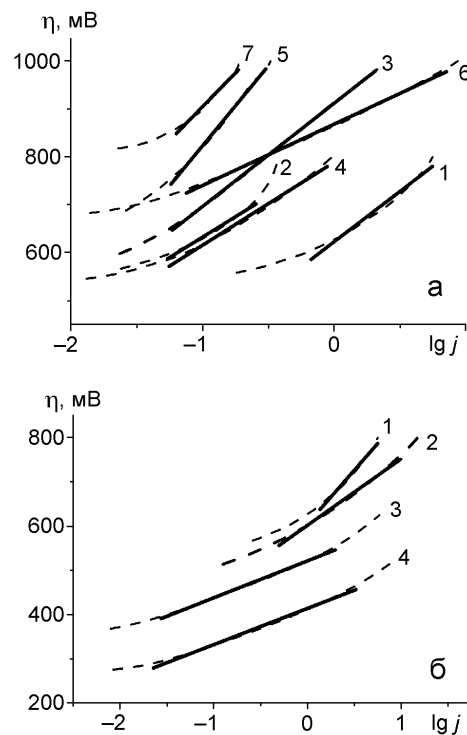


Рис. 3. Поляризационные кривые в Тафелевых координатах для РВВ на различных электродах: *a* — GC (1), PIN/GC (2), PAP/GC (3), PPI/GC (4), PMFDA/GC (5) и PAh/GC (6); *б* — GC (1), PoFDA/GC (2), PAh/GC (3), PAIn/GC (4) и Pt (5). Электролит  $0,5 \text{ M H}_2\text{SO}_4$ ;  $v = 5 \text{ мВ/с}$ .

плотности тока ( $\eta_j$ ), которое характеризует разницу в скорости процесса, обусловленную природой электродного материала. Согласно полученным данным (табл. 2) модификация GC-электродов PAP, PMFDA или PAF приводит к росту  $\eta_j$  ( $j = 1 \text{ мА}/\text{см}^2$ ) на 165—284 мВ и более чем на 350 мВ в случае PIN, PPI или PAh. Этот факт согласуется с установленным превышением значений  $b$  для GC-электродов, модифицированных PAP, PIN, PMFDA, PAF, PPI или PAh, по сравнению с немодифицированным электродом (табл. 2), что свидетельствует об ингибировании РВВ данными ОСП.

Учитывая, что процесс электрохимического выделения водорода проходит при потенциалах, при которых ОСП находятся в восстановленном состоянии и характеризуются низкой электропроводностью, можно предположить, что полимерное покрытие на GC-электроде выступает в роли барьера, препятствующего процессу переноса заряда в РВВ [7], преодоление которого требует значительного перенапряжения. Разница же в кинетических параметрах для РВВ на электродах, модифицированных указанными полимерами, может быть обусловлена различием в толщине пленок (заведомо большей в

Таблица 2

**Кинетические параметры для РВВ в 0,5 М H<sub>2</sub>SO<sub>4</sub> на немодифицированном GC-электроде и GC-электроде, модифицированном N-содержащими ОСП**

ОСП	<i>b</i> , мВ/порядок	$\alpha$	<i>j</i> <sub>0</sub> , мА/см <sup>2</sup>	$\eta_j$ , мВ	
				<i>j</i> = 5 мА/см <sup>2</sup>	<i>j</i> = 1 мА/см <sup>2</sup>
GC	174	0,34	2,40E-4	779	639
ПАИн	84	0,69	1,28E-5	488	414
ПАХ	82	0,72	4,56E-7	617	526
ПоФДА	147	0,40	8,43E-5	709	608
ПмФДА	128	0,46	1,63E-7	970	867
ПАП	191	0,31	7,00E-5	—	804
ПАФ	219	0,27	6,98E-5	—	925
ПИн	262	0,23	4,53E-4	—	>1000
ППи	278	0,21	1,09E-4	—	>1000
ПАН	279	0,21	5,80E-5	—	>1000

Примечание. GC — немодифицированный электрод.

случае ПАН и ППи в силу специфики их формирования, связанной с высокой электропроводностью таких полимеров), их морфологией, наличием тех или иных функциональных групп и т. п.

Однако согласно [4] протекание электрохимических процессов возможно и при потенциалах «непроводимости» пленки, если принять во внимание предположение о локализации стадий процесса, которые определяют его скорость, на границе электрод/электролит (для пленок с пористой структурой) и/или электрод/полимер (медиаторный механизм), а также незначительное снижение потенциала в пленках толщиной ≤500 нм и достаточно медленную релаксацию с электропроводящего в непроводящее состояние. Эти допущения могут объяснить тот факт, что в отличие от рассмотренных выше ОСП использование в качестве модификаторов GC-электродов полимеров с низкой электропроводностью (ПАХ, ПоФДА и особенно ПАИн) приводит не только к уменьшению  $\eta_j$ , но и к снижению величины тафелевского наклона *b*, а также к увеличению коэффициента переноса  $\alpha$  (табл. 2), что свидетельствует о проявлении такими полимерами электрокаталитической активности в РВВ и может открывать значительные перспективы в использовании таких ОСП в качестве компонент нанокомпозитных электрокатализаторов указанного процесса.

Следует отметить, что тафелевские прямые, представленные на рис. 3, являются нормированными на площадь геометрической (видимой) поверхности

электрода, а не на площадь его истинной электрохимически активной поверхности. Поэтому представленные результаты (рис. 3, табл. 2) могут свидетельствовать лишь об общей электрокаталитической активности ПАИн, ПАХ и ПоФДА в РВВ [18], не позволяя разделить вклад в наблюдаемый эффект площади поверхности и собственных электрокаталитических свойств полимерного материала, обусловленных его электронной структурой [18]. Детальное объяснение причин проявления ПАХ, ПоФДА и ПАИн каталитической активности в РВВ и природы активных центров в таких полимерах требует проведения дальнейших исследований. В то же время можно предположить, что наряду с незначительной толщиной полимерных покрытий и их морфологией причина проявления активности в РВВ указанными полимерами может быть связана с их молекулярным строением, а именно наличием дополнительной, незадействованной в полимеризации аминогруппы в их мономерных звеньях, как это имеет место в парах ПАН — ПоФДА и ПИн — ПАИн. В отличие от ПоФДА в случае ПмФДА тафелевский наклон хотя и уменьшается по сравнению с ПАН, но начало выделения водорода остается в области достаточно отрицательных потенциалов. Причиной этого может быть то, что при формировании ПоФДА число свободных аминогрупп как дефектов в структуре полимера, подобной феназину, является большим, чем в случае ПмФДА. Отмеченные особенности молекулярного строения ПАХ, ПоФДА и

ПАИн, возможно, обеспечивают более эффективную электрохимическую десорбцию адсорбированного на поверхности модифицированного электрода атомарного водорода по сравнению с немодифицированным GC-электродом.

На основании рассчитанных нами тафелевских наклонов, традиционных представлений о протекании РВВ в кислых электролитах [18–20], а также принимая во внимание предложенную в работе [9] схему механизма РВВ на электродах, модифицированных поли(2-амино-5-меркапто-1,3,4-тиадиазолом), можно сделать предположение о вероятном механизме РВВ на электродах, модифицированных N-содержащими ОСП. Атомы азота в макромолекулах N-содержащих ОСП (далее схематично представлены как ( $\sim$ N)) за счет неподеленной пары электронов способны протонироваться в кислом электролите — ( $\sim$ N)H<sup>+</sup>. Первичный разряд протона на поверхности таких модифицированных электролов (реакция Фольмера) может приводить к образованию атома водорода, который адсорбируется на электроде: ( $\sim$ N)H<sup>+</sup> + e<sup>-</sup> → ( $\sim$ N)H<sub>адс</sub>. Дальнейшее удаление H<sub>адс</sub> может проходить путем либо электрохимической десорбции: ( $\sim$ N)H<sub>адс</sub> + ( $\sim$ N)H<sup>+</sup> + e<sup>-</sup> → H<sub>2</sub> + 2( $\sim$ N) (реакция Гейровского), либо рекомбинации: ( $\sim$ N)H<sub>адс</sub> + ( $\sim$ N)H<sub>адс</sub> → H<sub>2</sub> + 2( $\sim$ N) (реакция Тафеля). Как правило, одна из указанных выше стадий является лимитирующей. Если реакция Фольмера является скоростью определяющей стадией, то величина  $b$  обычно составляет 120 мВ/порядок, а коэффициент переноса  $\alpha$  — около 0,5 [19, 20]. В случае если скорость процесса определяет стадия десорбции (механизм Фольмера — Гейровского), то  $b$  имеет значение ~40 мВ/порядок ( $\alpha \sim 1,5$ ) [19, 20], а в условиях прохождения РВВ по механизму Фольмера — Тафеля величины  $b$  и  $\alpha$  составляют ~30 мВ/порядок и ~2 соответственно, а лимитирующей будет стадия рекомбинации [19, 20]. Как свидетельствуют результаты проведенных нами исследований, представленные в табл. 2, для немодифицированного GC-электрода и GC/ОСП-электролов значения  $b$  находятся в пределах 82—279 мВ/порядок, а  $\alpha$  — 0,21—0,72, что дает основание предположить, что в исследованных нами случаях РВВ протекает по механизму Фольмера — Гейровского, где лимитирующей является стадия Фольмера.

Таким образом, в результате проведенных нами исследований обнаружено, что органические сопряженные полимеры ПАИн, ПАХ и ПоФДА способны выступать электрокатализаторами в процессе выделения водорода из воды в кислых электролитах в отличие от ряда N-содержащих ОСП (ПАН, ППи, ПмФДА, ПИн, ПАФ, ПАП), которые ингибируют РВВ. Установлено, что модифицирование GC-элек-

трода ПАИн, ПАХ или ПоФДА приводит к существенному повышению эффективности электролитического выделения водорода — уменьшению величины тафелевского наклона, снижению потенциала начала процесса и перенапряжения при заданной плотности тока.

Работа выполнена при частичной финансовой поддержке целевой комплексной программы фундаментальных исследований НАН Украины «Фундаментальные проблемы создания новых наноматериалов и нанотехнологий» (проект № 30).

## Литература

- Zou X., Zhang Y. // Chem. Soc. Rev. — 2015. — **44**, N 15. — P. 5148—5180.
- Zeng M., Li Y. // J. Mater. Chem. A. — 2015. — **3**, N 29. — P. 14942—14962.
- Malinauskas A. // Synth. Met. — 1999. — **107**, N 2. — P. 75—83.
- Подловченко Б. И., Андреев В. Н. // Успехи химии. — 2002. — **71**, № 10. — С. 950—965.
- Pokhodenko V. D., Kurys Ya. I., Posudievsky O. Yu. // Synth. Met. — 2000. — **113**, N 1/2. — P. 199—201.
- Armelin E., Pla R., Liesa F. et al. // Corrosion Sci. — 2008. — **50**, N 3. — P. 721—728.
- Tian Y., Liu M., Zhou X. et al. // J. Electrochem. Soc. — 2014. — **161**, N 3. — P. E23—E27.
- Aydin R., Köleli F. // Prog. Org. Coat. — 2006. — **56**, N 1. — P. 76—80.
- Liu L., Zha D.W., Wang Y. et al. // Int. J. Hydrogen Energy. — 2014. — **39**, N 27. — P. 14712—14719.
- Wang T., Zhuo J., Du K. et al. // Adv. Mater. — 2014. — **26**, N 22. — P. 3761—3766.
- Dai Y.-Q., Zhou D.-M., Shiu K.-K. // Electrochim. acta. — 2006. — **52**, N 1. — P. 297—303.
- Carbone M. E., Ciriello R., Granafei S. et al. // Electrochim. acta. — 2014. — **144**. — P. 174—185.
- Baibarac M., Baltog I., Scocioreanu M. et al. / Synth. Met. — 2009. — **159**, N 23/24. — P. 2550—2555.
- Yue R., Jiang F., Du Y. et al. // Electrochim. acta. — 2012. — **77**. — P. 29—38.
- Abd El-Rahman H. A., Schultze J. W. // J. Electroanal. Chem. — 1996. — **416**, N 1/2. — P. 67—74.
- Park D.-S., Shim Y.-B., Park S.-M. // Electroanalysis. — 1996. — **8**, N 1. — P. 44—48.
- Heinze J., Frontana-Uribe B. A., Ludwigs S. // Chem. Rev. — 2010. — **110**, N 8. — P. 4724—4771.
- Damian A., Omanovic S. // J. Power Sources. — 2006. — **158**, N 1. — P. 464—476.
- Okido M., Depo J. K., Capriano G. A. // J. Electrochem. Soc. — 1993. — **140**, N 1. — P. 127—133.
- Shinagawa T., Garcia-Esparza A. T., Takanabe K. // Sci. Rep. — 2015. — **5**. — 13801.

Поступила в редакцию 28 апреля 2016 г.  
В окончательном варианте 16 мая 2016 г.

## **Електрокатализ N-вмісними супряженими полімерами електрохімічного виділення водню з води в кислих середовищах**

**Я. І. Курись, Д. О. Мазур, В. Г. Кошечко, В. Д. Походенко**

Інститут фізичної хімії ім. Л. В. Писаржевського НАН України  
просп. Науки, 31, Київ 03028, Україна. E-mail: kurys@inphyschem-nas.kiev.ua

*З'ясовано можливість ряду N-вмісних органічних супряжених полімерів проявляти електрокаталітичну активність у процесі виділення водню в кислому електроліті. Встановлено, що модифікування склографітового електрода полі-5-аміноіндолом, полі-8-амінохіноліном або полі-*o*-фенілендіаміном, на відміну від поліаніліну, поліпіролу, полі-*m*-фенілендіаміну, полі-*o*-амінофенолу, полііндолу і полі-2-амінопіридину, призводить до збільшення ефективності електрохімічного виділення водню — зменшення величини тафелевського нахилу, зниження потенціалу початку процесу і перенапруги при заданій густині струму.*

**Ключові слова:** електрокатализатори, виділення водню, N-вмісні супряжені полімери.

## **Electrocatalysis of Electrochemical Hydrogen Evolution from Water in Acid Medium by N-Containing Conjugated Polymers**

**Ya. I. Kurys, D. O. Mazur, V. G. Koshechko, V. D. Pokhodenko**

L. V. Pysarzhevsky Institute of Physical Chemistry, National Academy of Sciences of Ukraine  
Prosp. Nauky, 31, Kyiv 03028, Ukraine. E-mail: kurys@inphyschem-nas.kiev.ua

*The possibility of a number of N-containing organic conjugated polymers to exhibit electrocatalytic activity in the hydrogen evolution in acid electrolyte was studied. It is found that the modification of glassy carbon electrode with poly-5-aminoindole, poly-8-aminoquinoline or poly-*o*-phenylenediamine, unlike polyaniline, polypyrrole, poly-*m*-phenylenediamine, poly-*o*-aminophenol, polyindole, and poly-2-amino-pyridine, leads to increased efficiency of electrolytic hydrogen evolution – a decrease of the Tafel slope, reducing of the potential of beginning of the process and of the overpotential at a given current density.*

**Key words:** electrocatalysts, hydrogen evolution, N-containing conjugated polymers.